

# 23

## Der Satz von Stokes

Wir übertragen nun den Fundamentalsatz von Ketten im  $\mathbb{R}^n$  auf  $n$ -dimensionale orientierte Mannigfaltigkeiten  $M$  mit Rand, die in einem beliebigen euklidischen Raum eingebettet sind. Der Fundamentalsatz erhält dann die Form

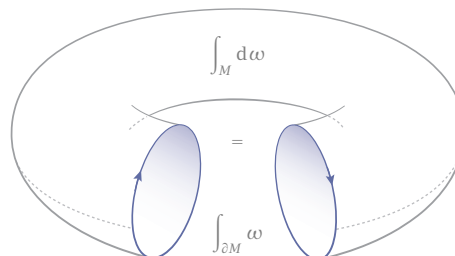
$$\int_M d\omega = \int_{\partial M} \omega$$

und wird als allgemeiner Satz von Stokes bezeichnet.

Für 3- und 2-dimensionale berandete Mannigfaltigkeiten enthält dieser den Satz von Gauss – auch Divergenzsatz genannt – und den klassischen Satz von Stokes als Spezialfälle, welche wir abschließend mithilfe der klassischen Linien-, Flächen- und Volumenelemente formulieren. In diesem Zusammenhang treten auch die Divergenz und Rotation eines Vektorfeldes auf. Diese Bezeichnungen erhalten hier ihre Berechtigung.

Abb 1

Satz von Stokes



### 23.1 Mannigfaltigkeiten

Bisher betrachteten wir *gleichungsdefinierte Mannigfaltigkeiten*. Demnach ist eine nichtleere Teilmenge  $M$  des  $\mathbb{R}^{n+m}$  eine  $f$ -definierte Mannigfaltigkeit der Dimension  $n$ , wenn es eine stetig differenzierbare Abbildung  $f: \mathbb{R}^{n+m} \rightarrow \mathbb{R}^m$  mit regulärem Wert  $0$  gibt, so dass

$$M = f^{-1}(0).$$

Kurz,  $M$  ist die Niveaumenge eines regulären Wertes einer glatten Funktion.

Wir verallgemeinern dieses Konzept nun dahingehend, dass wir dies von einer Mannigfaltigkeit nur noch *lokal* um jedem Punkt fordern. Dabei stehe im Folgenden *differenzierbar* der Einfachheit halber für *unendlich oft differenzierbar*.

**Definition** Eine nichtleere Teilmenge  $M$  des  $\mathbb{R}^{n+m}$  heißt  *$n$ -dimensionale Mannigfaltigkeit* oder kurz  *$n$ -Mannigfaltigkeit*, wenn zu jedem Punkt  $p \in M$  eine Umgebung  $W \subset \mathbb{R}^{n+m}$  und eine differenzierbare Abbildung  $f: W \rightarrow \mathbb{R}^m$  mit regulärem Wert  $0$  existiert, so dass

$$M \cap W = f^{-1}(0). \quad \times$$

Aufgrund des Niveaufächensatzes 18.12 ist dies, lokal um jeden Punkt, äquivalent zur Existenz einer differenzierbaren Abbildung  $\phi: \mathbb{R}^n \rightarrow \mathbb{R}^m$ , so dass

$$M \cap W = \Gamma(\phi)$$

der Graph von  $\phi$  ist. Für das praktische Arbeiten mit Mannigfaltigkeiten ist allerdings folgende Charakterisierung nützlicher.

- 1 **Satz** Eine nichtleere Teilmenge  $M$  des  $\mathbb{R}^{n+m}$  ist eine  *$n$ -Mannigfaltigkeit* genau dann, wenn es zu jedem Punkt  $p \in M$  eine Umgebung  $W \subset \mathbb{R}^{n+m}$  und einen Diffeomorphismus  $h: W \rightarrow \mathbb{R}^n \times \mathbb{R}^m$  gibt, so dass

$$h(M \cap W) \subset \mathbb{R}^n \times \{0\}. \quad \times$$

Man sagt, der Diffeomorphismus  $h$  *trivialisert* die Mannigfaltigkeit um  $p$ .

⟨⟨⟨⟨  $\Rightarrow$  Nach Umordnung der Koordinaten können wir annehmen, dass

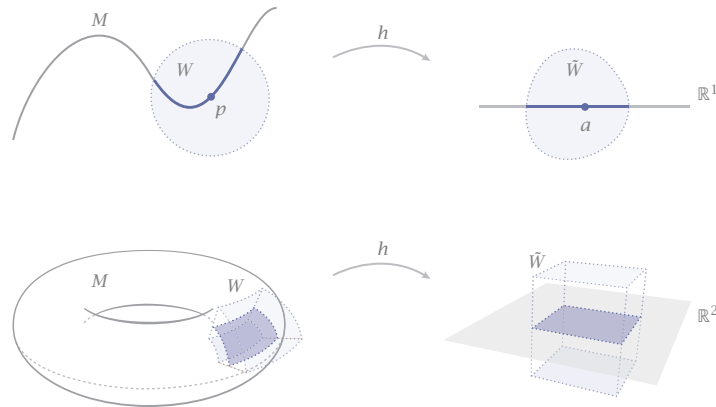
$$p = (u_0, v_0) \in U \times V = W \subset \mathbb{R}^n \times \mathbb{R}^m, \quad M \cap W = \Gamma(\phi)$$

mit einer differenzierbaren Abbildung  $\phi: U \rightarrow V$  mit  $\phi(u_0) = v_0$ . Setzen wir

$$h: U \times V \rightarrow \mathbb{R}^n \times \mathbb{R}^m, \quad (u, v) \mapsto (x, y) = (u, v - \phi(u)),$$

so ist  $h$  injektiv und die Jacobimatrix  $Dh$  in jedem Punkt regulär. Also ist  $h$  ein Diffeomorphismus von  $W$  auf eine offene Teilmenge in  $\mathbb{R}^n \times \mathbb{R}^m$  mit der

Abb 2 Ein- und zweidimensionale Mannigfaltigkeiten



Eigenschaft, dass

$$\begin{aligned} h(M \cap W) &= \{h(u, v) : (u, v) \in \Gamma(\varphi)\} \\ &= \{(x, y) : x \in U, y = 0\} \subset \mathbb{R}^n \times 0^m. \end{aligned}$$

$\Leftarrow$  Sei  $W$  eine Umgebung von  $p$  und  $h: W \rightarrow \Omega$  ein solcher Diffeomorphismus. Setzen wir

$$f = (h_{n+1}, \dots, h_{n+m}) : W \rightarrow \mathbb{R}^m,$$

so ist  $f$  differenzierbar und  $f(M \cap W) = 0^m$ . Außerdem ist  $0^m$  ein regulärer Wert, da der Rang von  $Dh$  in allen Punkten maximal ist.  $\gggg$

Eine Mannigfaltigkeit lässt sich auch durch die Existenz *lokaler Koordinaten* wie folgt charakterisieren.

- 2 **Satz** Eine nichtleere Teilmenge  $M$  des  $\mathbb{R}^{n+m}$  ist eine  *$n$ -Mannigfaltigkeit* genau dann, wenn es zu jedem Punkt  $p \in M$  eine Umgebung  $W \subset \mathbb{R}^{n+m}$ , ein Gebiet  $U \subset \mathbb{R}^n$  und eine differenzierbare Abbildung  $\varphi: U \rightarrow \mathbb{R}^{n+m}$  mit folgenden Eigenschaften gibt:

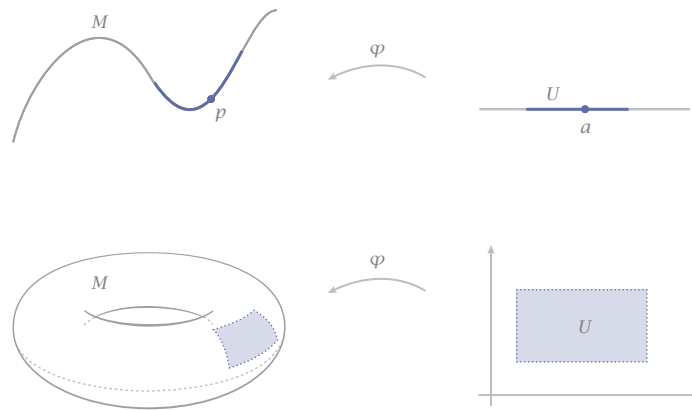
(K-1)  $\varphi$  ist injektiv mit  $\text{rang } D\varphi \equiv n$ ,

(K-2)  $\varphi(U) = M \cap W$ ,

(K-3)  $\varphi^{-1}: \varphi(U) \rightarrow U$  ist stetig.

Eine solche Abbildung  $\varphi$  heißt *lokales Koordinatensystem* oder *Karte* um  $p$ .  $\times$

Abb 3 Ein- und zweidimensionales Koordinatensystem



»»» Ist  $M$  eine  $n$ -Mannigfaltigkeit, so existiert um jeden Punkt  $p \in M$  eine Umgebung  $W \subset \mathbb{R}^{n+m}$  und eine differenzierbare Abbildung  $\phi: \mathbb{R}^n \supset U \rightarrow \mathbb{R}^m$ , so dass  $M \cap W = \Gamma(\phi)$ . Dann ist

$$\varphi: U \rightarrow \mathbb{R}^{n+m}, \quad \varphi(x) = (x, \phi(x))$$

offensichtlich ein Koordinatensystem um  $p$ .

Sei nun umgekehrt  $W$  eine Umgebung von  $p$  und  $\varphi: U \rightarrow \mathbb{R}^{n+m}$  eine Abbildung mit den Eigenschaften (K-1)-(K-3). Wir können dann die Koordinaten in  $\mathbb{R}^{n+m}$  so umordnen, dass die Jacobimatrix von

$$\chi = (\varphi_1, \dots, \varphi_n)$$

im Punkt  $a = \varphi^{-1}(p)$  regulär ist. Verkleinern wir nötigenfalls  $U$ , so erhalten wir einen Diffeomorphismus  $\chi: U \rightarrow \tilde{U}$ ,

$$\tilde{\varphi} = \varphi \circ \chi^{-1}: \tilde{U} \rightarrow W$$

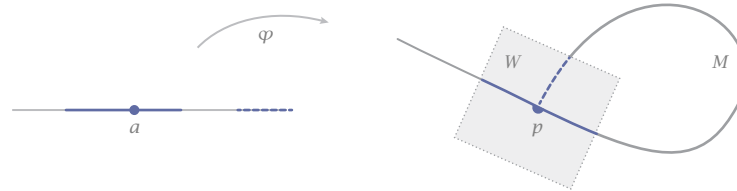
ist die Identität in den ersten  $n$  Koordinaten, und es gilt

$$\varphi(U) = \tilde{\varphi}(\tilde{U}) = \Gamma(\phi),$$

wenn  $\phi$  aus den letzten  $m$  Koordinaten von  $\tilde{\varphi}$  besteht.

Außerdem existiert eine Umgebung  $W$  von  $p$ , so dass  $\Gamma(\phi) = M \cap W$ . Denn andernfalls gäbe es eine Folge  $(p_k)$  von Punkten auf  $M$  mit  $p_k \rightarrow p$  und  $\varphi^{-1}(p_k) \notin U$ . Dann aber ist  $\varphi^{-1}$  im Punkt  $p$  nicht stetig, im Widerspruch zu Annahme (K-3). Also ist  $M$  eine  $n$ -Mannigfaltigkeit. »»»

Abb 4 Keine Mannigfaltigkeit



*Bemerkung* Bedingung ( $\kappa$ -3) ist erforderlich, um Gebilde wie in Abbildung 4 als Mannigfaltigkeit auszuschließen. Jede Umgebung  $W$  von  $p$  enthält auch Punkte auf den gestrichelten Ende von  $M$ , die gegen  $p$  konvergieren. Entlang dieser Folge konvergiert  $\varphi^{-1}$  jedoch nicht gegen  $\varphi^{-1}(p)$ , ist also unstetig.  $\rightarrow$

► *Beispiele für Mannigfaltigkeiten* A. Jede gleichungsdefinierte Mannigfaltigkeit im Sinne von Abschnitt 18.3 ist auch eine Mannigfaltigkeit in diesem Sinne. Die dortigen Beispiele sind also auch hier gültig.

B. Insbesondere ist jede 1-Punkt-Menge eine 0-Mannigfaltigkeit.

C. Jede offene Teilmenge des  $\mathbb{R}^n$  ist eine  $n$ -Mannigfaltigkeit. Als  $n$ -dimensionales Koordinatensystem um jeden Punkt genügt die Identitätsabbildung.

D. Die Oberfläche eines 2-Torus ist eine kompakte 2-Mannigfaltigkeit. ◀

Wir halten noch fest, dass der Wechsel zwischen zwei Koordinatensystemen einen Diffeomorphismus definiert, wenn sich ihre Kartengebiete überlappen.

3 **Lemma** Sei  $M$  eine  $n$ -Mannigfaltigkeit im  $\mathbb{R}^{n+m}$ . Sind

$$\varphi_\alpha : U_\alpha \rightarrow \mathbb{R}^{n+m}, \quad \alpha = 1, 2,$$

zwei überlappende Koordinatensysteme von  $M$ , also die Mengen

$$V_\alpha = \varphi_\alpha^{-1}(\varphi_1(U_1) \cap \varphi_2(U_2)), \quad \alpha = 1, 2,$$

nicht leer, so sind die beiden Koordinatenwechsel

$$\varphi_2^{-1} \circ \varphi_1 : V_1 \rightarrow V_2, \quad \varphi_1^{-1} \circ \varphi_2 : V_2 \rightarrow V_1,$$

$n$ -dimensionale Diffeomorphismen. ✕

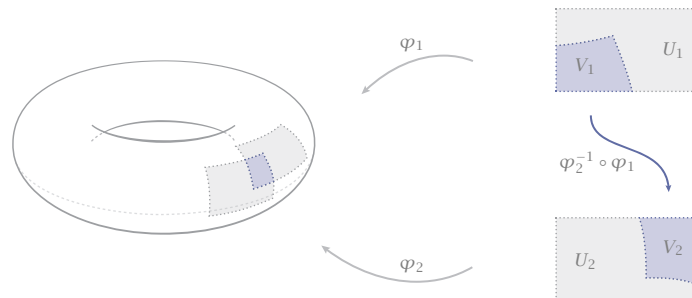
◀◀◀ Mit den Bezeichnungen des vorangehenden Beweises ist

$$\varphi_2^{-1} \circ \varphi_1 = \pi_n \circ h_2 \circ \varphi_1 = \pi_n \circ h_2 \circ \psi_1|_{U_1 \times 0^m},$$

wobei  $\pi_n$  die Projektion auf die ersten  $n$  Koordinaten bezeichnet. Es ist dann

$$\det D(\varphi_2^{-1} \circ \varphi_1)(a_1) \neq 0.$$

Abb 5 Koordinatenwechsel



Somit ist  $\varphi_2^{-1} \circ \varphi_1$  ein lokaler Diffeomorphismus um  $a_1$ . — Aus Symmetriegründen gilt Entsprechendes auch für  $\varphi_1^{-1} \circ \varphi_2$ .  $\gggg$

#### ■ Mannigfaltigkeiten mit Rand

Jeder Punkt einer  $n$ -Mannigfaltigkeit  $M$  ist umgeben von einem  $n$ -dimensionalen Kartengebiet. In diesem Sinne ist jeder Punkt von  $M$  ein *innerer Punkt* von  $M$  und kein *Randpunkt*. Für den Satz von Stokes benötigen wir aber auch *Mannigfaltigkeiten mit Rand*.

Das euklidische Modell hierfür ist der abgeschlossene Halbraum

$$\mathbb{H}^n := \{x \in \mathbb{R}^n : x_n \geq 0\}.$$

Jeder Punkt  $x$  in  $\mathbb{H}^n$  mit  $x_n > 0$  ist ein innerer Punkt von  $\mathbb{H}^n$ , und der Rand dieses Halbraums ist die Hyperebene

$$\partial\mathbb{H}^n = \{x \in \mathbb{R}^n : x_n = 0\} = \mathbb{R}^{n-1} \times 0^1.$$

So ist  $\mathbb{H}^1$  das abgeschlossene Intervall  $[0, \infty)$ , und  $\mathbb{H}^2$  die obere abgeschlossene Halbebene.

Abb 6 Eindimensionale Mannigfaltigkeit mit Rand

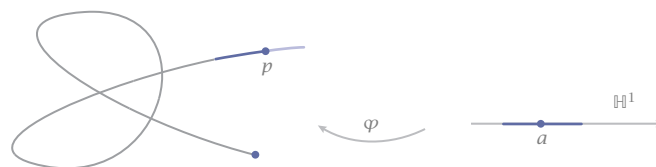
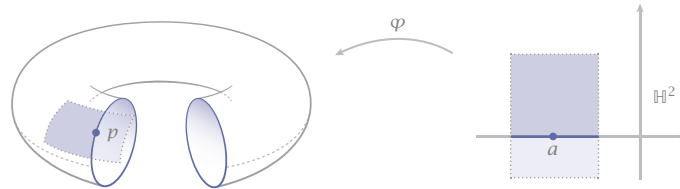


Abb 7 Zweidimensionale Mannigfaltigkeit mit Rand



- 4 **Definition** Eine nichtleere Teilmenge  $M$  des  $\mathbb{R}^{n+m}$  heißt  *$n$ -dimensionale Mannigfaltigkeit mit Rand* oder kurz *berandete  $n$ -Mannigfaltigkeit*, wenn es zu jedem Punkt  $p \in M$  eine Umgebung  $W \subset \mathbb{R}^{n+m}$  und einen Diffeomorphismus  $h: W \rightarrow \mathbb{R}^{n+m}$  gibt, so dass entweder

$$h(M \cap W) \subset \mathbb{R}^n \times 0^m \quad (\iota)$$

oder

$$h(M \cap W) \subset \mathbb{H}^n \times 0^m, \quad h(p) \in \partial \mathbb{H}^n \times 0^m. \quad (\delta)$$

Der *Rand*  $\partial M$  von  $M$  besteht aus allen Punkten in  $M$  mit Eigenschaft  $(\delta)$ .  $\times$

Man beachte, dass beide Bedingungen nicht gleichzeitig erfüllt sein können. Denn gäbe es um ein und denselben Punkt  $p$  Diffeomorphismen  $h_\iota$  und  $h_\delta$  mit den jeweiligen Eigenschaften, so wäre  $h_\delta \circ h_\iota^{-1}$  ein Diffeomorphismus, der eine offene Umgebung von  $h_\iota(p)$  auf eine nicht-offene Umgebung von  $h_\delta(p)$  abbildet, was nicht möglich ist.

► A. Jede Mannigfaltigkeit ist auch eine Mannigfaltigkeit mit Rand, ihr Rand ist in diesem Fall leer.

B. Jede abgeschlossene  $n$ -dimensionale Kugel im  $\mathbb{R}^n$  ist eine kompakte berandete  $n$ -Mannigfaltigkeit, ihr Rand ist eine  $n - 1$ -dimensionale Sphäre.

C. Ein Volltorus ist eine kompakte berandete 3-Mannigfaltigkeit, sein Rand ist ein ›hohler‹ 2-dimensionaler Torus. ◀

**Achtung** Der Mannigfaltigkeiten-Rand ist nicht zu verwechseln mit dem topologischen Rand<sub>7.23</sub>. Ist zum Beispiel  $D$  eine abgeschlossene Kreisscheibe im  $\mathbb{R}^3$ , so ist ihr Mannigfaltigkeiten-Rand eine Kreiskurve, aber ihr topologischer Rand ist ganz  $D$ .  $\rightarrow$